

УДК 538.22 : 539.23

© 1992

ПЕРПЕНДИКУЛЯРНАЯ АНИЗОТРОПИЯ И ЭФФЕКТИВНЫЙ РАЗМАГНИЧИВАЮЩИЙ ФАКТОР ПЛЕНОК Ni

Г. Н. Каказей, Н. А. Лесник, А. И. Мицек, В. Н. Пушкарь

Строится модель ПМА ферромагнитной пленки толщины D , состоящей из тонких цилиндрических кристаллитов диаметром d . На ее основе рассчитываются величины ПМА (N_{eff}), кривые намагничивания и частоты ФМР. Экспериментальное исследование свойств тонких пленок Ni с размерами кристаллитов $d < D$ и $d' > D$ позволяет проверить сделанные предположения и найти разные вклады в ПМА (магнитострикционный, N_{eff}).

Природа перпендикулярной магнитной анизотропии (ПМА) в ферромагнитных пленках исследуется разносторонне с нарастающей интенсивностью. В соединениях редкоземельных элементов с 3d-металлами источником ПМА можно считать анизотропное окружение редкоземельных ионов, поэтому при интерпретации ПМА в аморфных пленках Fe—Nd используется концепция кластеров с ближним порядком. Сильная ПМА, превышающая анизотропию формы, наблюдается в $\text{Fe}_x\text{O}_{1-x}$ и $\text{Fe}_x\text{M}_y\text{O}_{1-x-y}$ ($\text{M}=\text{Si}, \text{Co}$) и объясняется иглообразной формой сильномагнитных выделений.

Одним из важнейших материалов, перспективных для «перпендикулярной записи», считаются пленки Co—Сг с сильной ПМА. Влияние магнитной изоляции столбчатых кристаллитов на ПМА обсуждается количественно в [1]; при изменении толщины пленок от 0.1 до 1 мкм константа перпендикулярной анизотропии K_\perp увеличивается от $1.3 \cdot 10^5$ до $3.1 \cdot 10^5$ эрг/см³. Неоднородность концентрации хрома и варьирование его интегральной концентрации [2] критически влияют на ПМА.

В пленках никеля также обнаружена ПМА [3–5], возникновение которой связано с технологическими особенностями получения пленок. Предположения авторов о магнитострикционном механизме наблюдавшейся ПМА недостаточно для описания совокупности результатов магнитных измерений таких образцов.

Довольно далеко удается продвинуться в описании свойств таких пленок в рамках модели Ивата [6] — пленок со столбчатой структурой. Детальное рассмотрение природы ПМА проведено в предположении о неоднородности концентрации в пленках примесей, которые в основном содержатся в границах кристаллитов. Объем вещества, отнесенного к границам кристаллитов размером ~ 10 нм, с учетом сегрегации примесей на них достигает 10 % объема пленки при осаждении ее в вакууме $\sim 10^{-4}$ – 10^{-5} Торр. Если граница является слабомагнитной изолирующей прослойкой между кристаллитами (как это рассматривается в [6]), то эффективный размагничивающий фактор пленки N_{eff} должен уменьшиться ($N_{\text{eff}} < 4\pi$). Однако, как показывает наш анализ [6], это не весь вклад в ПМА: следует также учитывать магнитострикционный вклад, обусловленный как механической связью пленки с подложкой, так и разностью констант магнитострикции в зерне и в границе.

Когда примеси случайны (определяются, например, атмосферой остаточных газов в паровой фазе), нарушенная структура границ зерен может рассматриваться как другая фаза, состав которой отличается от кристаллитного. Параметры обменного взаимодействия в границе и зерне должны сильно отличаться. При толщине границ $R \geq 1$ нм прямой обмен между кристаллитами ослаблен настолько, что существенным оказывается обмен между кристаллитом и границей.

В данной работе строится модель ПМА ферромагнитной пленки (толщиной $D \sim 10 \div 100$ нм), состоящей из тонких цилиндрических кристаллитов (диаметр их $d < D$). На ее основе рассчитываются величины ПМА (N_{eff}), кривые намагничивания и частоты ФМР. Экспериментальное исследование свойств тонких пленок Ni с размерами кристаллитов $d < D$ и $d > D$ позволяет проверить сделанные предположения и найти разные вклады в ПМА (магнитострикционный, N_{eff}).

1. Теория перпендикулярной магнитной анизотропии в мелкокристаллических столбчатых пленках

Пленка, плоскость которой совпадает с плоскостью xOy , состоит из ферромагнитных кристаллитов цилиндрической формы, оси которых вытянуты вдоль Oz .

Иерархия толщин

$$R \ll d \ll D \quad (1)$$

позволяет рассмотреть два предельных случая. Важнейшим для ПМА в «межкристаллитной модели» представляется случай $d < D$. Для проверки модели надо также исследовать свойства пленок, имеющих $d > D$.

Намагниченность пленки M состоит из намагниченностей кристаллитов M_B (их число N_B) и границ M_S . Свободная энергия магнитной анизотропии

$$\Phi_A = \Phi_f + N_B \Phi_B + \Phi_{A\perp} + N_B' \Phi_c \quad (2)$$

состоит из магнитостатического вклада суммарной намагниченности пленки Φ_f , перпендикулярной анизотропии $\Phi_{A\perp}$, магнитостатических энергий, обусловленных границами кристаллитов Φ_B^* и их куполов Φ_c^* . Из-за неоднородности роста кристаллитов приходится учитывать [6] их куполообразные свободные поверхности высотой $\Delta \ll d$, что определяет добавочный вклад в ПМА.

Анизотропия формы куполов зерен вносит небольшой вклад, который приближенно можно описать разностью их размагничивающих факторов вдоль нормали к пленке N_c^z и в плоскости пленки N_c^\perp

$$\Phi_f \cong V_c N_B M_B^2 (N_c^z - N_c^\perp), \quad (3)$$

где V_c — объем купола. Размагничивающие факторы в приближении Нееля представим в виде

$$N_c^z \cong \frac{4\pi d}{d + \Delta}, \quad N_c^\perp \cong \frac{4\pi \Delta}{d + \Delta}. \quad (4)$$

Отметим, что в случае антиферромагнитной природы межкристаллитного вещества ситуация может кардинально измениться [7].

1) Перпендикулярная фаза. Размагничивающая энергия образца единичного объема

$$\Phi_f \cong 2\pi N_B^2 (M_B^z v_B + M_S^z v_S)^2, \quad N_B (v_B + v_S) = 1, \quad v_S/v_B = q \ll 1, \quad (5)$$

где v_B и v_S — объемы зерна и границ, зависят от M_B и M_S

$$\mathbf{M}_B = M_B \boldsymbol{\alpha}_B, \quad \mathbf{M}_S = M_S \boldsymbol{\alpha}_S, \quad \alpha_{Bz} = \cos \theta_B, \quad \alpha_{Sz} = \cos \theta_S, \quad (6)$$

если ввести полярные углы θ_B и θ_S . Размагничивающую энергию кристаллитов запишем в предположении об их «магнитной изоляции», вводя эффективные размагничивающие факторы N_B^j

$$\Phi_B = \Phi_0 + \frac{1}{2} \Delta N_B M_B^2 \alpha_{Bz}^2, \quad \Delta N_B = N_B^z - N_B^-, \quad N_B^- = \frac{4\pi d}{d+D}, \quad N_B^+ = \frac{4\pi D}{d+D} \quad (7)$$

в приближении Нееля для вытянутого эллипсоида.

Собственный вклад в ПМА дают границы кристаллитов

$$\Phi_{A\perp} = -N_B v_S K_{\perp S} \alpha_{Sz}^2 \quad (8)$$

и напряжения, обусловленные связью с подложкой σ

$$\Phi_{As} = -\lambda \sigma \alpha_{Bz}^2, \quad (9)$$

где λ — эффективная константа магнитострикции. Для Ni имеем $\lambda \approx -3.5 \cdot 10^{-5}$, для Co и Fe ее величина имеет тот же порядок, хотя и может отличаться в большую или меньшую сторону в зависимости от текстуры кристаллической пленки. Наши оценки [6] магнитоупругого вклада в K_{\perp} дают величину $\sim 5 \cdot 10^5$ эрг/см³. Экспериментальные оценки величины σ для пленок ферромагнетиков группы Fe дают $\sigma \sim 10^9 \div 10^{10}$ дин, т. е. $\lambda \sigma \sim 10^5 \div 10^6$ эрг/см³.

Связь между \mathbf{M}_B и \mathbf{M}_S подсистемами выбираем в простейшем виде

$$\Phi_i = -A \boldsymbol{\alpha}_B \boldsymbol{\alpha}_S. \quad (10)$$

В пределе $A \rightarrow \infty$ имеем $\boldsymbol{\alpha}_S = \boldsymbol{\alpha}_B$ и можем ввести эффективный размагничивающий фактор

$$N_{\text{eff}} = 4\pi + \Delta N_B \cong 4\pi \left(1 + \frac{d-D}{d+D} \right) = 8\pi \frac{d}{d+D}, \quad d < D, \quad q \rightarrow 0. \quad (11)$$

Очевидно, что только в случае (11) можно считать константу Φ_0 в (7) не зависящей от d . При $d \geq D$ уже нельзя использовать ни (7), ни приближение Нееля для N_B^j , ни предположение о постоянстве Φ_0 ; эти две величины практически компенсируют друг друга, уменьшая второй член в круглой скобке в (11).

Учет $q \neq 0$ усложняет вид N_{eff}

$$N_{\text{eff}} \cong 4\pi \left((1 + q(M_S/M_B))^2 + \frac{d-D}{d+D} \right) / (1 + q)^2, \quad (12)$$

что при $q \sim 0.1$ и $M_S \ll M_B$ еще больше уменьшает N_{eff} (на 20 %).

Теперь можно исследовать состояние системы с перпендикулярной намагниченностью $\mathbf{M} \parallel \mathbf{n}$. Суммарная энергия магнитной анизотропии есть

$$\Phi_A = \frac{1}{2} N_{\text{eff}} M_z^2 - K_{\perp}(\sigma) \alpha_z^2, \quad K_{\perp}(\sigma) = q K_{\perp S} + \lambda \sigma. \quad (13)$$

Отсюда получаем условие устойчивости перпендикулярной фазы

$$(q K_{\perp S} + \lambda \sigma) > \frac{1}{2} N_{\text{eff}} M_z^2$$

или

$$d < d_c \cong \sqrt{R D Q}, \quad Q = \frac{K_{\perp} + \lambda \sigma / q}{2\pi M_z^2} \quad (14)$$

в предположении $q \cong 2R/d$. Получаем критический размер кристаллита d при заданной толщине пленки D . Очевидно, что линия перехода 1-го рода ($\mathbf{M} \parallel \mathbf{n} \rightarrow \mathbf{M} \perp \mathbf{n}$) — парабола

$$D_{\text{cr}} \cong d^2/RQ, \quad \mathbf{M} \parallel \mathbf{n}, \quad D > D_{\text{cr}}. \quad (15)$$

При значениях $Q \sim 0.1$ и $R \sim 1$ нм для $d \sim 10$ нм получаем оценку критической толщины пленки $D_{\text{cr}} \sim 1$ мм. Это значение типично для стабилизации перпендикулярного состояния в достаточно толстых пленках. Однако в некоторых случаях, когда $Q \cong 0.5$, $R \cong 1$ нм, $d \cong 5$ нм, получаем гораздо меньшую толщину пленки $D_{\text{cr}} \cong 50$ нм. Более точная оценка с учетом $q \neq 0$

$$D_{\text{cr}} = \frac{2d}{qQ} \left(\frac{1+q\mu}{1+q} \right)^2, \quad \mu = M_s/M_B. \quad (16)$$

При $q \cong 1/3$ и $\mu \ll 1$ получаем для этих параметров структуры $D_{\text{cr}} \cong 30$ нм. Видна резкая зависимость D_{cr} от геометрии границ кристаллитов.

2) Намагничивание образца. При намагничивании пленки вдоль нормали ($\mathbf{H} \parallel \mathbf{n}$) главную роль играют смещение доменных стенок и процессы их закрепления.

Здесь рассмотрим намагничивание в плоскости пленки ($\mathbf{H} \perp \mathbf{n}$). Энергия магнитного поля $H = H_x$ в полярной системе координат (пренебрегаем магнитной анизотропией в плоскости пленки)

$$\Phi_H = -H(M_B \sin \theta_B + qM_s \sin \theta_s). \quad (17)$$

Варьируя сумму (5)–(10), (17) по $\theta_{B,s}$, получаем систему уравнений

$$\begin{aligned} 2A \sin(\theta_B - \theta_s) - h(1-q) \cos \theta_B - N_{\text{eff}} \sin 2\theta_B - 8\pi q \sin \theta_B \cos \theta_s &\cong 0, \\ -2A \sin(\theta_B - \theta_s) - hq \cos \theta_s - 8\pi q \sin \theta_s \cos \theta_B + 4\pi q(Q-q) \sin 2\theta_s &\cong 0 \end{aligned} \quad (18)$$

в линейном по q приближении. Здесь

$$h = H/2M, \quad A = \bar{A}/2M. \quad (19)$$

В пределе $A \rightarrow \infty$ получаем, суммируя уравнения (17), кривую намагничивания в плоскости трудного намагничивания, что указывает на простую интерпретацию экспериментальных кривых намагничивания в пленках сплавов группы Fe.

В соединениях редкоземельных металлов (РЗМ) приходится учитывать конечность A , в частности, из-за большой концентрации немагнитных примесей в окружении РЗ ионов. Образуем разность уравнений (17), и в линейном по $\Delta\theta = \theta_B - \theta_s$ приближении получим

$$\Delta\theta \cong (h \cos \theta + \dot{H}_{A\perp} M \sin 2\theta)/A, \quad (20)$$

что дает поправки в кривую намагничивания (19). Неколлинеарность M_B и M_s в слабых полях $H < H_{A\perp}$ должна сказываться на динамике спиновых подсистем кристаллитов и их границ.

3) Динамика спинов в ФМР. Полученный выше результат для кривой намагничивания в пределе $A \rightarrow \infty$ позволяет рассматривать однородные колебания суммарного магнитного момента пленки. Поэтому однородная высокочастотная магнитная восприимчивость вполне описывается феноменологической теорией ФМР с эффективным размагничивающим фактором N_{eff} (11) и константой перпендикулярной анизотропии, равной $qK_{\perp}(\sigma)$ (13).

Однако желательно провести общий анализ колебаний связанных намагниченостей кристаллитов M_B и их границ M_s . Вводим моменты магнитных ионов в кристалле S_k и в границе J_k (k — волновой вектор). Гамильтониан системы равен сумме размагничивающих энергий пленки и кристаллитов, магнитной анизотропии, обменного взаимодействия подсистем и поля. Его однородная часть

$$\mathcal{K}_0 = 2\pi M_0^2 (S_0^z + J_0^z)^2 + \frac{1}{2} \Delta N_B (S_0^z)^2 - k_S q N (J_0^z)^2 - \Sigma A (|r - R|) S_r J_r - N (S_0^z h_s + q J_0^z), \quad M_0 = M_B / S, \quad h_{S,J} = \mu_B H g_{S,J}, \quad (21)$$

где N — число магнитных ионов. Когда $H = H_z$, для функций Грина

$$G_{KS}(J) = \langle\langle S_{\vec{k}}(J_{\vec{k}}^+) | S_{\vec{k}} \rangle\rangle, \quad (22)$$

определеняющих магнитную восприимчивость, получаем систему уравнений

$$\begin{pmatrix} \omega - \omega_s - q S_T \\ -z J_T \omega - \omega_J \end{pmatrix} \begin{pmatrix} G_{KS} \\ G_{KJ} \end{pmatrix} = \frac{2 S_T}{N} \begin{pmatrix} 1 \\ 0 \end{pmatrix}. \quad (23)$$

Здесь обозначено

$$\begin{aligned} z &= A, \quad \omega_s = z J_T q + h_s - N_{\text{eff}} \mu_B M_B, \\ \omega_J &= S_T z + h_J + 2 k_s J_T - 4 \pi \mu_B M_s. \end{aligned} \quad (24)$$

Общее решение системы (23) дает два полюса функций Грина (22)

$$E_{\pm} = \frac{1}{2} ((\omega_s + \omega_J) \pm ((\omega_J - \omega_s)^2 + 4P)^{1/2}), \quad P = z^2 S_T J_T q, \quad (25)$$

соответствующие «акустической» (низкочастотному ФМР) и «оптической» (обменной) ветвям спектра.

В приближении малого q и сильного обмена A получаем

$$E_- \cong \omega_s - P/\omega_J \cong h_s + (-N_{\text{eff}} M + 2qk_s J_T) \mu_B + O(q^3). \quad (26)$$

Активационная (обменная) частота

$$E_+ = z S_T (1 + q) + h_J + (2k_s J_T - 4\pi M) \mu_B \quad (27)$$

содержит большой обменный вклад. Обнаружение резонанса границ на частоте (27) имеет принципиальный характер.

В случае, когда подсистема спинов в границе имеет более высокую температуру Кюри T_{CS} , чем в кристаллите T_{CB} , частоты (26) и (27) могут быть сравнимы в окрестности $T_{CS} \cong T_{CB}$. Однако ветвь (27) даже в этом случае окажется выше за счет малости q .

2. Эксперимент

Поликристаллические пленки Ni осаждались в вакууме $\sim 5 \cdot 10^{-5}$ Торр методом электронно-лучевого испарения на стеклянные и слюдяные подложки. Толщина пленок изменялась от 25 до 100 нм.

Оценка размеров кристаллитов проводилась с помощью просвечивающего электронного микроскопа. На этом же микроскопе исследовалась доменная структура в плоскости пленки методом Лоренца.

Пленки, осажденные на ненагретую подложку ($T_S \cong 293$ К), имели размер кристаллитов $d \leq 10$ нм (рис. 1, a). Доменная структура в плоскости пленки не наблюдалась, что позволило предположить перпендикулярную магнитную фазу ($M \parallel n$) в этих пленках.

Их исследование было продолжено методом ферромагнитного резонанса на частоте 9.05 ГГц. Измерялась угловая зависимость резонансного поля $H_r(\varphi)$, где полярный угол φ изменялся от $\varphi = 0$ ($H \parallel n$) до $\varphi = \pi/2$ ($H \perp n$). Обработка данных проводилась по формулам, связывающим частоты ФМР ω_r , резонансные поля H_r , равновесные углы суммарной намагниченности θ и полярные углы φ .

$$\frac{\sin 2\theta}{\sin(\varphi - \theta)} = \frac{2H_r}{H_A^{\text{eff}}},$$

$$H_r \cos(\varphi - \theta) + (H_A^{\text{eff}}/2)(3 \cos^2 \theta - 1) = ((\omega_r/\gamma)^2 + (H_A^{\text{eff}} \sin^2 \theta)^2/4)^{1/2}, \quad (28)$$

где γ — гиromагнитное отношение,

$$H_A^{\text{eff}} = H_{\perp}^{\text{eff}} - 4\pi M. \quad (29)$$

В H_{\perp}^{eff} входят все факторы, приводящие к возникновению перпендикулярной анизотропии: анизотропия, наводимая в границах кристаллитов, магнито-

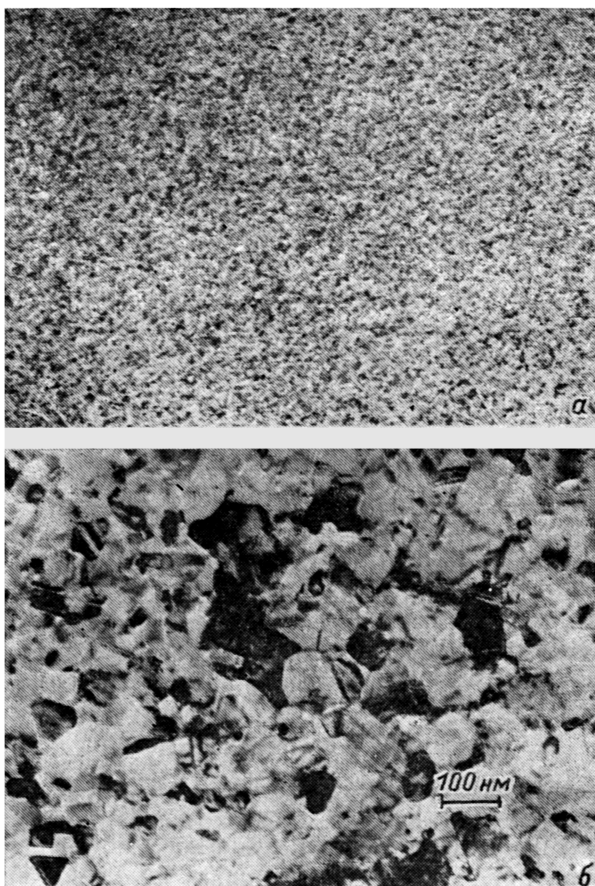


Рис. 1. Кристаллическая структура плёнок никеля: напыленной на ненагретую подложку (а), этой же пленки после отжига при $T_a \approx 800$ К в течение 1 ч (б).

стрикция и собственные поля размагничивания кристаллитов. Численно решая систему уравнений (28) на ЭВМ, получаем угловую зависимость $H_r(\varphi)$ для конкретного H_A^{eff} . Варьируем H_A^{eff} , чтобы рассчитанная $H_r(\varphi)$ наилучшим образом описывала экспериментальные точки.

На рис. 2 приведена характерная угловая зависимость $H_r(\varphi)$ пленки, осажденной на ненагретую подложку (кривая А). Отличительная особенность ее — превышение $H_r(\pi/2)$ над $H_r(0)$, что является критерием существования перпендикулярной фазы. Для кривой А $H_{\perp}^{\text{eff}} \geq 900$ Э, т. е. $H_{\perp}^{\text{eff}} \geq 7$ кЭ. Для осталь-

ных пленок величина H_{\perp}^{eff} варьируется в пределах 5–7 кЭ. Следует отметить также, что ширина линии резонанса $\Delta H_r(\pi/2)$ этих пленок больше, чем $\Delta H_r(0)$ (рис. 3). В тонких пленках 3d-металлов, в которых ПМА отсутствует, наблюдается обратное соотношение ΔH_r .

Вращение исследуемого образца в плоскости пленки при различных ϕ не привело к изменению H_r (в пределах точности установки держателя). Из этого можно сделать вывод о том, что ось ПМА направлена практически параллельно нормали к пленке n . Это наряду с фактором качества ($H_{\perp}^{\text{eff}}/4\pi M$), который для большинства пленок ≥ 1 , позволяет рассматривать мелкокристаллические пленки Ni в качестве возможного носителя информации, основанного на «перпендикулярной записи».

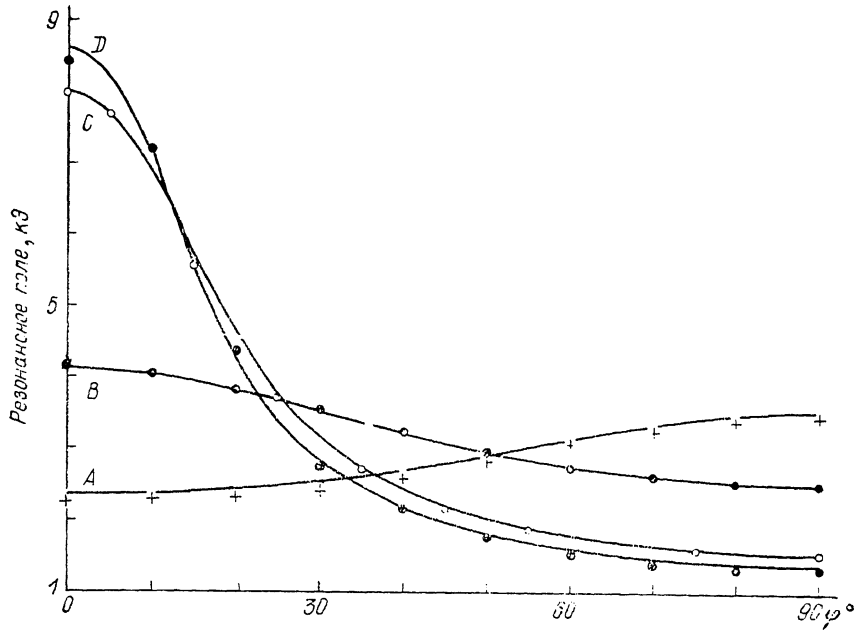


Рис. 2. Угловые зависимости поля ФМР пленок никеля.

Сплошные линии — расчет, точки — эксперимент. A — пленка, напыленная на ненагретую подложку; B — та же пленка, снятая с подложки; C — та же пленка, отожженная при $T_d \approx 800$ К в течение 1 ч; D — пленка, напыленная на нагретую ($T_S \approx 600$ К) подложку.

Угловая зависимость той же пленки, снятой с подложки, показана на рис. 2 (кривая B). Для этой пленки $H_A^{\text{eff}} \approx -1100$ Э, т. е. вклад магнитострикции в перпендикулярную анизотропию составляет ~ 2 кЭ. Отсюда получаем оценку напряжения связи пленки с подложкой $\sigma \sim 10^{10}$ дин/см², что соответствует данным [4, 5].

Отжиг пленок в вакууме 10^{-6} Торр в течение 1 ч при $T_d \approx 770$ К увеличивает размеры кристаллитов до 100 нм (рис. 1, б). Тот же эффект дает осаждение пленок на нагретую до 573 К подложку. В таких пленках наблюдалась доменная структура, обычная для пленок Ni с $M \perp n$. Угловые зависимости $H_r(\phi)$ этих пленок (рис. 2, кривые C и D соответственно) описываются $H_A^{\text{eff}} \sim -5400$ Э, $H_{\perp}^{\text{eff}} \sim 600$ Э, т. е. перпендикулярная анизотропия в пленках с таким размером кристаллитов резко уменьшается. Для более точных оценок величины ПМА необходимо прямое измерение намагниченности исследуемых пленок, так как для пленок Ni, осажденных в вакууме 10^{-5} Торр, намагниченность насыщения M может уменьшаться на величину до 10 %. Поэтому в случае, когда $H_{\perp}^{\text{eff}} \approx 4\pi M$,

погрешность наших оценок невелика, а когда $H_{\perp}^{\text{eff}} \ll 4\pi M$, погрешность оценок может превысить 100 %.

Итак, полагая вещества границ ферромагнитным, учли его обменное взаимодействие A с кристаллитами и магнитную анизотропию границ $K_{\perp s}$. Собственная перпендикулярная анизотропия границ может приводить к эффективной перпендикулярной анизотропии всей пленки, т. е. энергетически более выгодной становится фаза с намагниченностью M вдоль нормали к пленке n .

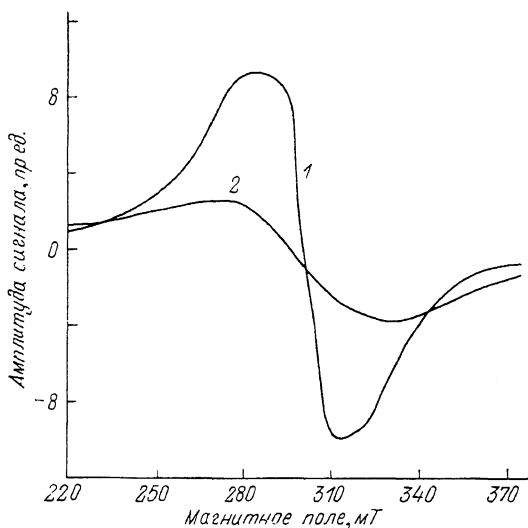


Рис. 3. Спектры ФМР пленки никеля, напыленной на ненагретую подложку, при различных ориентациях магнитного поля: $\varphi=0$ (1) и 90° (2).

Точка фазового перехода $d=d_{cr}$ из перпендикулярного состояния в плоскостное определяется из соотношений (14) магнитными, геометрическими (D , d и толщина границ кристаллитов R) параметрами, а также магнитострикцией.

Экспериментальное подтверждение этих выводов основывается на электронно-микроскопических наблюдениях кристаллитов и доменной структуры.

Методом ФМР установлено существование в исследованных образцах ПМА, величина которой зависит от размера зерна и напряжений в пленках. Кроме магнитострикционного механизма в образовании ПМА существенную роль играет морфология пленок.

Список литературы

- [1] Khan Mahbub R., Seagle David J., Nils Fernelius C. // J. Appl. Phys. 1987. V. 61. N 8. Pt 2A. P. 3161.
- [2] Andra W., Danan H. // IEEE Trans. Magn. 1987. V. 23. N 1. P. 62–64.
- [3] Koikeda T., Fujiwara S., Chikazumi S. // J. Phys. Soc. Jap. 1966. V. 21. N 10. P. 1914–1921.
- [4] Sato K., Kondo H., Mizoguchi T. // J. Appl. Phys. 1988. V. 64. N 10. P. 5440–5442.
- [5] Shin C. Y., Bauer C. L., Artman J. D. // J. Appl. Phys. 1988. V. 64. N 10. P. 5428–5430.
- [6] Мицек А. И., Пушкарь В. Н. Реальные кристаллы с магнитным порядком. Киев, 1978. 296 с.
- [7] Мицек А. И. // ФММ. 1988. Т. 65. № 3. С. 435–445.